

COMUNE DI FELTRE
Provincia di Belluno

P.I.
2009-A

elaborato

VCS

A.T.O.

05
06

ambiti

APP|09
APP|10

scala

Studio di Compatibilità Sismica

APP|10 - Pont



UNITA' DI PROGETTO
PIANIFICAZIONE DEL TERRITORIO
arch. Oliviero Dall'Asen

UFFICIO DI PIANO
arch. Michela Rossato
geom. Gianluca Da Rin De Monego

COLLABORATORI
arch. Roberto Ben

IL GEOLOGO

Livio dott. Sartor



CITTA' DI FELTRE
IL SINDACO
Gianvittore Vaccari
L'ASSESSORE ALL'URBANISTICA
Gianvittore Vaccari

IL SEGRETARIO
Daniela De Carli

ADOTTATO

con deliberazione di C.C. n° 103 del 26/10/09

Il Presidente

Man

Il Segretario

Man

APPROVATO

con deliberazione di C.C. n° 30 del 22/03/10

Il Presidente

Man

Il Segretario

Man

ORIGINALE

Feltre, li

1. Premessa

Il PAT di Feltre è stato approvato prima dell'allegato "A" della DGRV 3308/2008, per cui non è stata eseguita la compatibilità sismica dell'intero territorio comunale: i "PI" devono però adeguarsi alla normativa Regionale.

Con delibera della Giunta n. **3308 del 04.11.2008** "*Applicazioni delle nuove norme tecniche sulle costruzioni in zona sismica. Indicazioni per la redazione e verifica della pianificazione urbanistica*", la Regione Veneto ha ritenuto di integrare la documentazione da allegare ai PAT e ai PI, con lo studio di "*compatibilità sismica*", da effettuare nelle zone sismiche 1 e 2, il quale dovrà fornire un supporto sulle modalità costruttive degli interventi, in modo da garantire un'adeguata sicurezza degli insediamenti e delle infrastrutture. Lo studio deve migliorare la conoscenza delle componenti che determinano la pericolosità sismica locale, e fornire i criteri di scelta finalizzati alla prevenzione dell'eventuale rischio, alla luce di quanto previsto anche dall'Eurocodice 8 e del DM 14.01.2008; in particolare si richiede che per la valutazione sismica siano adeguatamente considerate le condizioni geologiche e morfologiche attraverso dettagliati studi di microzonazione sismica locale, tenendo conto, sia della sismicità di base (distanza dalle sorgenti sismogenetiche, energia, frequenza e tipo di terremoti attesi), sia delle caratteristiche geologiche locali. La microzonazione sismica, con l'individuazione delle aree a diversa pericolosità sismica, consente, in particolare, di indirizzare le scelte di pianificazione verso gli ambiti a minore rischio.

L'allegato "A" della DGRV 3308/2008 prevede quanto segue:

- per i PAT "*lo studio di compatibilità sismica sarà costituito dalla verifica della conciliabilità della trasformazione urbanistica con le indicazioni derivanti dalla caratterizzazione geologica, geomorfologica ed idrogeologica del territorio in esame, avendo preso in considerazione la zona sismica interessata dall'ambito comunale secondo le disposizioni regionali in vigore*";
- per i PI, "*che localizzano puntualmente le trasformazioni urbanistiche, lo studio di compatibilità sismica avrà lo sviluppo necessario a definire gli interventi ammissibili e le modalità esecutive nelle aree urbanizzate ed urbanizzabili*".

L'elaborato finale cartografico sintetico della compatibilità sismica per i PAT prevede la mappatura dell'intero territorio comunale in:

- a) aree “stabili” nelle quali non si ipotizzano effetti locali di rilievo di alcuna natura;
- b) aree “stabili suscettibili di amplificazioni sismiche”, nelle quali sono attese amplificazioni del moto sismico, come effetto dell’assetto litostratigrafico e morfologico locale;
- c) aree “suscettibili di instabilità”; le principali cause sono: instabilità dei versanti, liquefazione e cedimenti differenziali dei terreni, faglie attive.

L'allegato “A” della DGRV 3308/2008 prevede che *“all’interno del PI, per il territorio urbanizzato, urbanizzabile (suscettibile di trasformazioni per l’espansione degli abitati) e relativo ad ambiti riguardanti i sistemi, le reti infrastrutturali e i corridoi per il trasporto energetico di rilevanza strategica a livello statale o provinciale, va effettuata:*

- *con riferimento alle “aree stabili” (v. lettera “a” punto “3” dell’allegato A) la caratterizzazione del terreno tramite la misura delle V_{s30} (velocità di propagazione delle onde di taglio entro i 30 metri di profondità come definita dalle vigenti norme tecniche sulle costruzioni);*
- *con riferimento alle “aree suscettibili di amplificazioni sismiche” (v. lettera “b” punto “3” dell’allegato A) uno studio finalizzato alla determinazione della profondità del bedrock sismico in funzione della definizione del periodo proprio della vibrazione del sottosuolo e alla definizione dei profili di V_{s30} , unitamente alla valutazione degli effetti morfologici;*
- *con riferimento alle “aree suscettibili di instabilità” (v. lettera “c” punto “3” dell’allegato A), uno studio degli eventuali effetti di cui all’alinea precedente e uno studio specifico finalizzato all’individuazione degli ambiti potenzialmente soggetti a instabilità, utilizzando come parametri di riferimento quelli stabiliti dalla vigente normativa tecnica sulle costruzioni.”*

Inoltre sempre nell’allegato “A” si afferma che per le *“varianti agli strumenti urbanistici che non comportino una trasformazione territoriale di urbanizzazione o, che comunque non alterino la protezione sismica prevista, il tecnico progettista è tenuto a sottoscrivere una asseverazione inerente la mancata necessità della valutazione sismica.”*

2. Geologia strutturale del Feltrino

Le Vette Feltrine sono una parte delle Alpi Meridionali, la retrocatena dell'orogene alpino generatosi con la subduzione della placca Europea al di sotto di quella Adriatica. Le Alpi Meridionali hanno una caratteristica struttura di sovrascorrimenti, in una geometria a ventaglio embricato che indica una propagazione temporale dal più interno al più esterno. Da Nord a Sud, la struttura delle Vette Feltrine è compresa tra i sovrascorrimenti della Valsugana, di Belluno e di Tezze. Due grandi strutture, l'anticlinale delle Vette Feltrine e la sinclinale di Belluno, accompagnano i sovrascorrimenti principali.

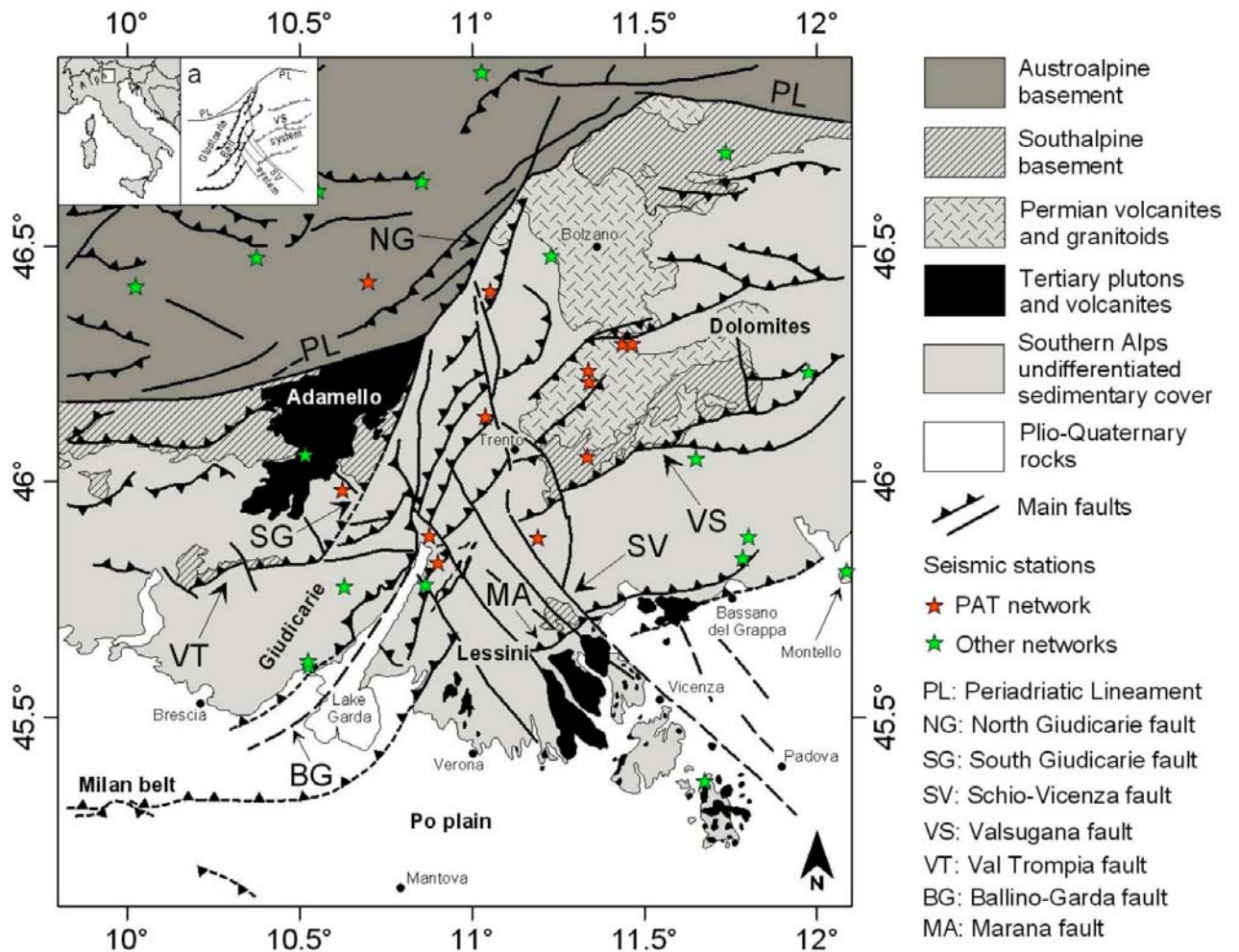


Fig. 1 - Schema strutturale semplificato del Sudalpino centro-orientale (da A. Viganò e altri - 2008)

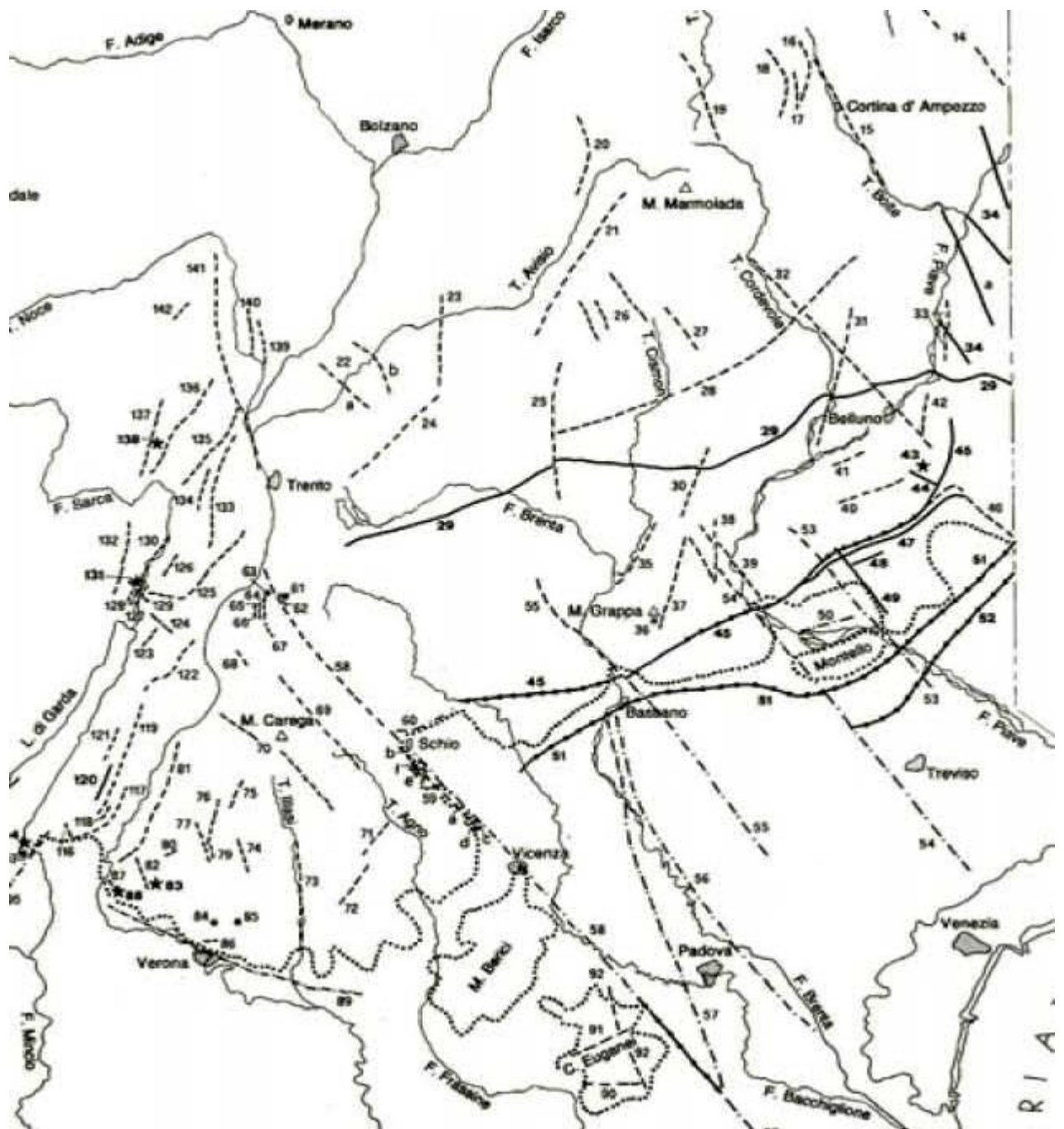


Fig. 2 - Carta generale delle faglie attive del Sudalpino centro-orientale (da Castaldini-Panizza - 1991)

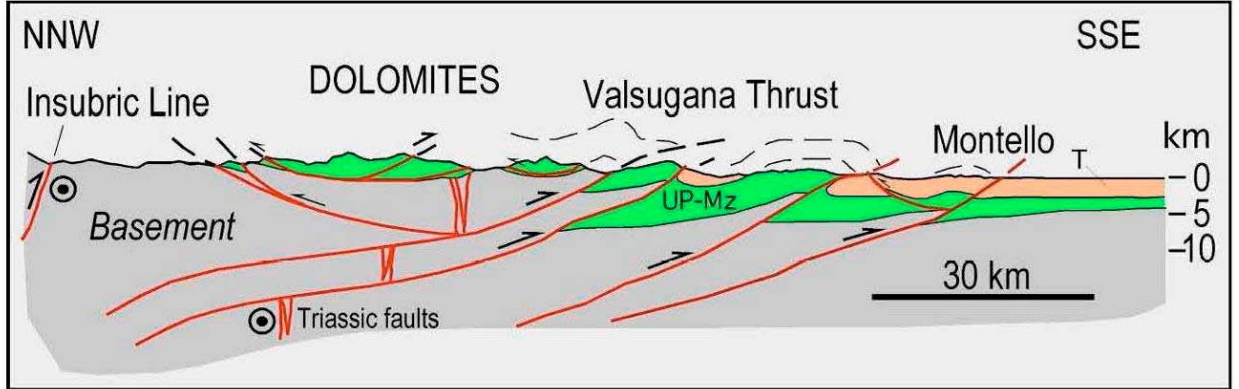


Fig. 18 - Sezione del ventaglio embriciato delle Alpi Meridionali, dalla Val Pusteria alla pianura veneta. Le Vette Feltrine, immediatamente a sud del *pop-up* delle Dolomiti, sono a letto del sovrascorrimento della Valsugana. UP-Mz, Permiano superiore-Mesozoico; T, Cenozoico (da DOGLIONI & CARMINATI, 2008).

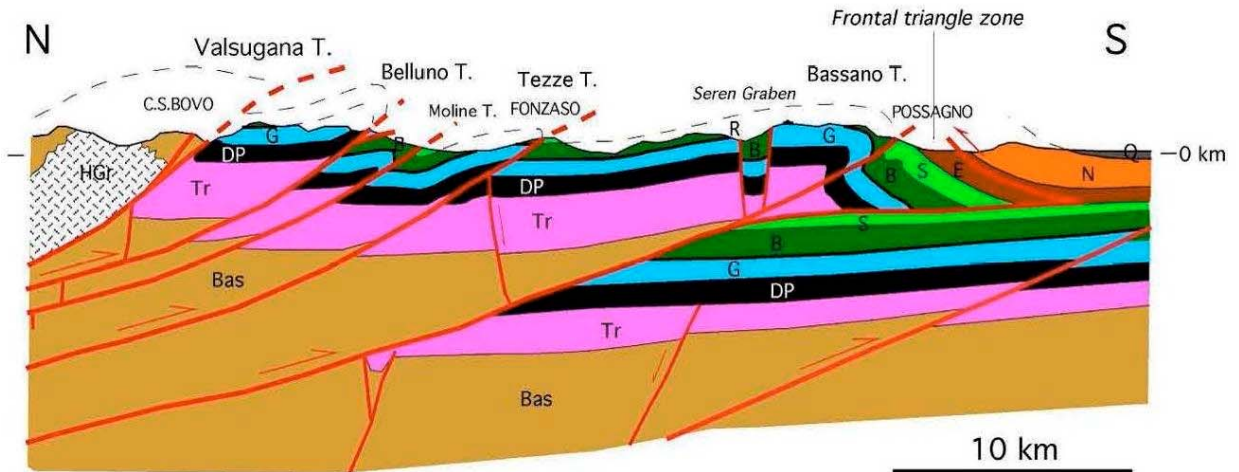


Fig. 19 - Sezione bilanciata da Canal San Bovo alla pianura veneta nei pressi di Asolo, localizzata immediatamente ad ovest delle Vette Feltrine. Bas, Basamento cristallino; HGr, Granito tardo ercinico; Tr, formazioni del Permiano superiore-Triassico inferiore e medio; DP, Dolomia Principale (Norico); G, Calcarei Grigi [Lias, facies di piattaforma passanti gradualmente verso sud a facies bacinali del Lias-Dogger (Fm di Soverzene, Fm di Igne, Calcare del Vajont)]; R, Ammonitico Rosso (sottile livello nero); B, Biancone, Cretaceo inferiore; S, Scaglia Rossa, Cretaceo superiore; E, Paleogene (Marna di Possagno, ecc.); N, Oligocene sup.-Neogene (Molassa); Q, Quaternario (tratto da DOGLIONI, 1992).

Fig. 3 - Sezioni rappresentative geologico strutturali

In base alla geometria a ventaglio embricato, è ipotizzabile un'età più antica per la Linea della Valsugana, a nord rispetto alle strutture più a sud. Attualmente il raccorciamento misurabile tramite GPS è dell'ordine di circa 2mm/anno, con una velocità di circa 2 km ogni milione di anni, compatibile con un raccorciamento di circa 20 km per gli ultimi 10 milioni di anni.

Cinematica della Micro-Placca Adriatica

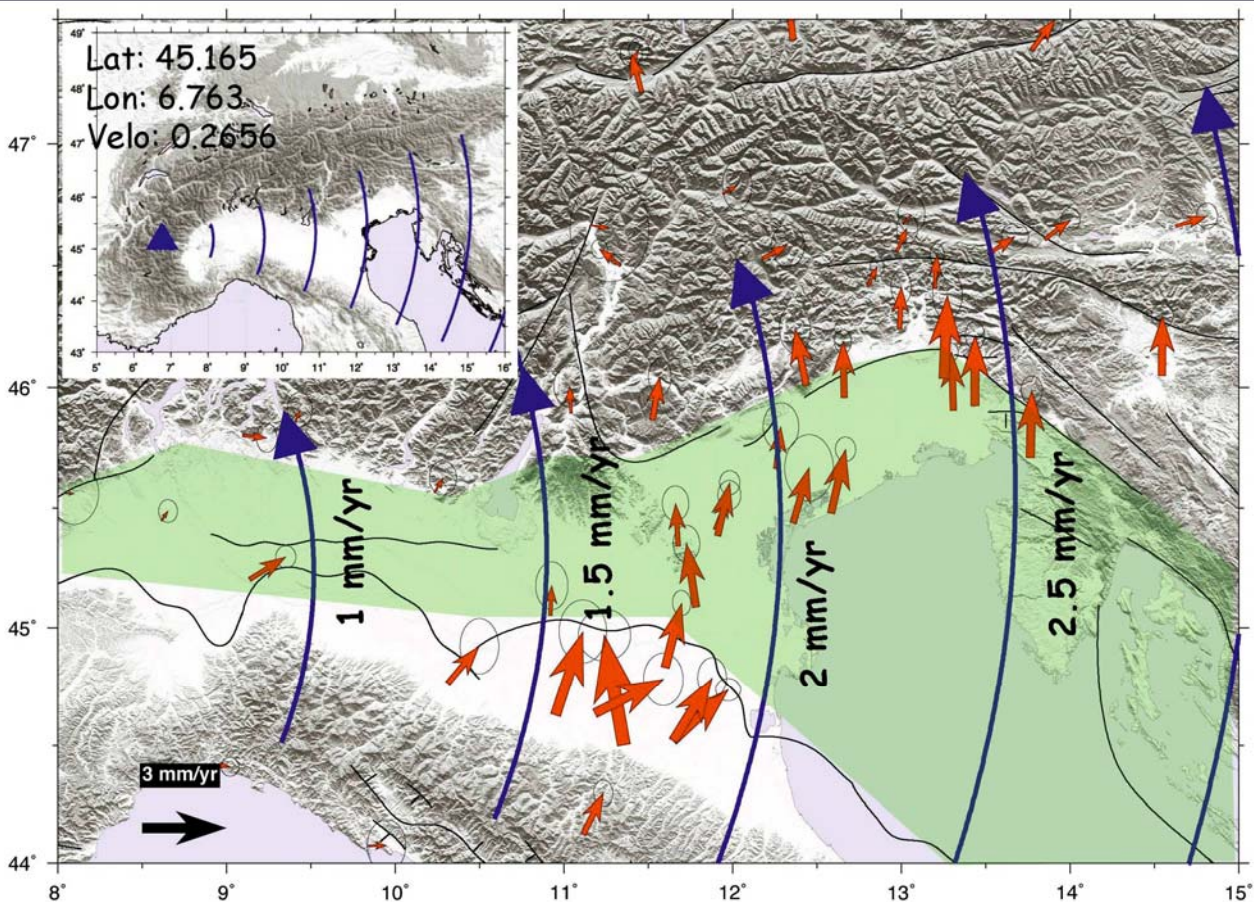


Fig. 4 - Cinematica (velocità di spostamento) della micro-placca Adriatica (E. Serpelloni –2008)

Accumulo di Deformazione Attraverso le Alpi Meridionali

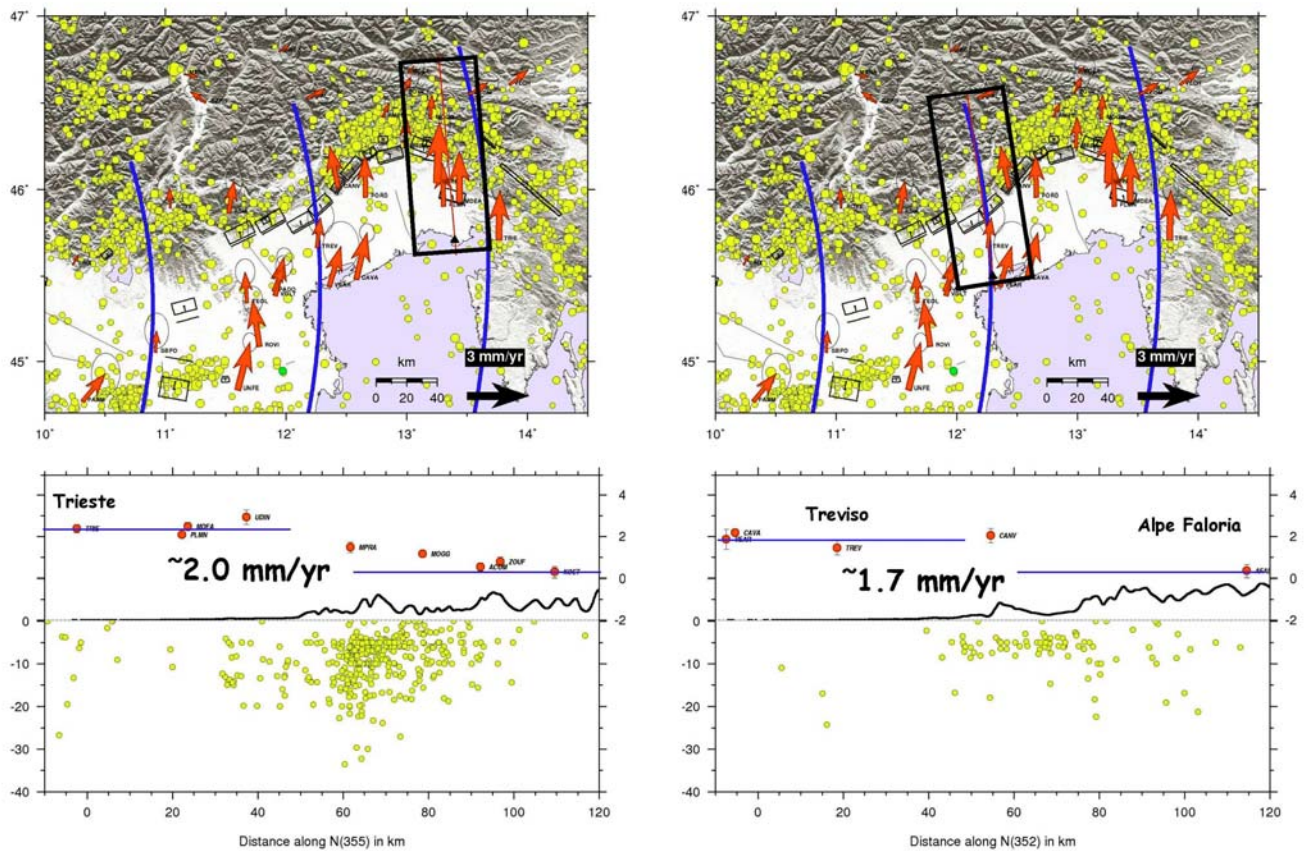


Fig. 5 - Accumulo di deformazione attraverso le Alpi Meridionali, con evidenziate l'area Trieste- Salzburg e Treviso-Belluno (E. Serpelloni –2008)

L'area feltrina è caratterizzata da due pieghe anticlinali (Coppolo-Pelf e Grappa-Visentin) e la sinclinale di Belluno, sviluppate in direzione ENE. Questi elementi sono l'espressione più superficiale dei movimenti compressivi avvenuti lungo la "Linea della Valsugana", "Linea di Belluno", e la "Linea Bassano-Vittorio Veneto". Si evidenzia che, muovendosi da ovest ad est a scala regionale, dalla valle del Cison verso la valle Agordina, la distanza tra la "Linea della Valsugana" e quella di "Belluno" aumenta, come aumentano il rigetto lungo la "Linea di Belluno" e la lunghezza del fianco frontale dell'anticlinale al tetto.

Il grande elemento strutturale a scala regionale, presente a nord dell'area di studio, è rappresentato dalla "**Linea della Valsugana**". Si tratta di un sovrascorrimento il cui tetto è costituito dal basamento ercinico che si sovrappone a formazioni mesozoiche e terziarie. La Linea della Valsugana prende origine nei pressi di Trento (Caldonazzo) e procedendo verso est, con una direzione circa ENE, in corrispondenza della val di Zoldo si biforca in due rami principali: uno verso la valle del Vajont, l'altro verso il Cadore. Il sovrascorrimento SE-vergente della "Linea della Valsugana" ha direzione E e un'inclinazione media di 30-40 gradi, localmente possono raggiungere anche inclinazioni maggiori (50-70 gradi).

La "**Linea di Belluno**" è un sovrascorrimento che si diparte da una ramificazione della "Linea Valsugana" nei pressi di Castel Tesino, ed ha un'estensione regionale, sviluppandosi sino ad Osoppo, percorrendo longitudinalmente il versante Nord del vallone Bellunese e passando per il monte Cavallo. Si tratta di un sovrascorrimento S-vergente con bassi angoli d'inclinazione (20-30 gradi) nella copertura sedimentaria. Un affioramento interessante è sul monte Pafagai, dove la parte culminante è costituita da cataclasite di Calcari Grigi e Dolomia Principale a diretto contatto col Biancone. Verso est, in località Vignaghe, è presente, inoltre, una faglia che raggiunge forcella S. Mauro interpretata come una diramazione della Linea di Belluno, che viene invece ipotizzata passante a monte degli abitati di Lasen e Arson.

Associata alla Linea di Belluno c'è l'anticlinale del Coppolo – Pelf che dal M. Silana passando per il Coppolo, Vallazza, Vette Piccole raggiunge l'area a nord di Belluno e il Friuli.

Importanti dislocazioni trasversali all'asse della flessura si riconoscono sempre con orientazione NNW – SSE, sul versante occidentale del M. Pafagai in prosecuzione della faglia di Lamén – Stalle alla Fornace e sulla forcella del S. Mauro dove è evidenziata dalla presenza di una fascia di cataclasi che separa un settore dolomitizzato ad occidente da uno orientale calcareo.

Tra il M. Pafagai ed il Dosso Perazze è riconoscibile un allineamento NNE – SSW, probabile prosecuzione della faglia di Facen, come sembrano indicare le cataclasi di Stalle alla Fornace, importante zona di intersezione di più sistemi di faglie. In particolare la "**Linea di Facen**" (segmento NE-SW della Linea di Tezze), al tetto della linea di Belluno interessa la cresta a nord del M. Pafagai (val Fallonega) e la zona tra Ramezza e forcella Scarnia.

Altro elemento strutturale importante dell'area di studio è rappresentato dalla Sinclinale di Belluno. Si tratta di una sinclinale molto asimmetrica, con fianco nord raddrizzato, mentre quello meridionale si eleva con deboli pendenze. Essa longitudinalmente presenta alcune

culminazioni assiali che finiscono per isolare piccole sinclinali chiuse come ne caso di Vignai-Altin.

Il nucleo della sinclinale è costituito da sedimenti di età langhiana (Complesso arenaceo marnoso di Vignui) che rappresentano i terreni più recenti di tutta la Sinclinale di Belluno. Come riportato da Miglioranza (1981), il fatto che la “Glauconia di Altin” affiorante anche nella zona di S. Gregorio, più ad est, non sia correlabile con la Glauconia di Belluno, ma sia ad essa sovrastante di circa 200 metri, dimostra che l’asse della sinclinale risulta molto più spostato verso il suo fianco settentrionale di raccordo con l’anticlinale M. Coppolo – M. Pelf.

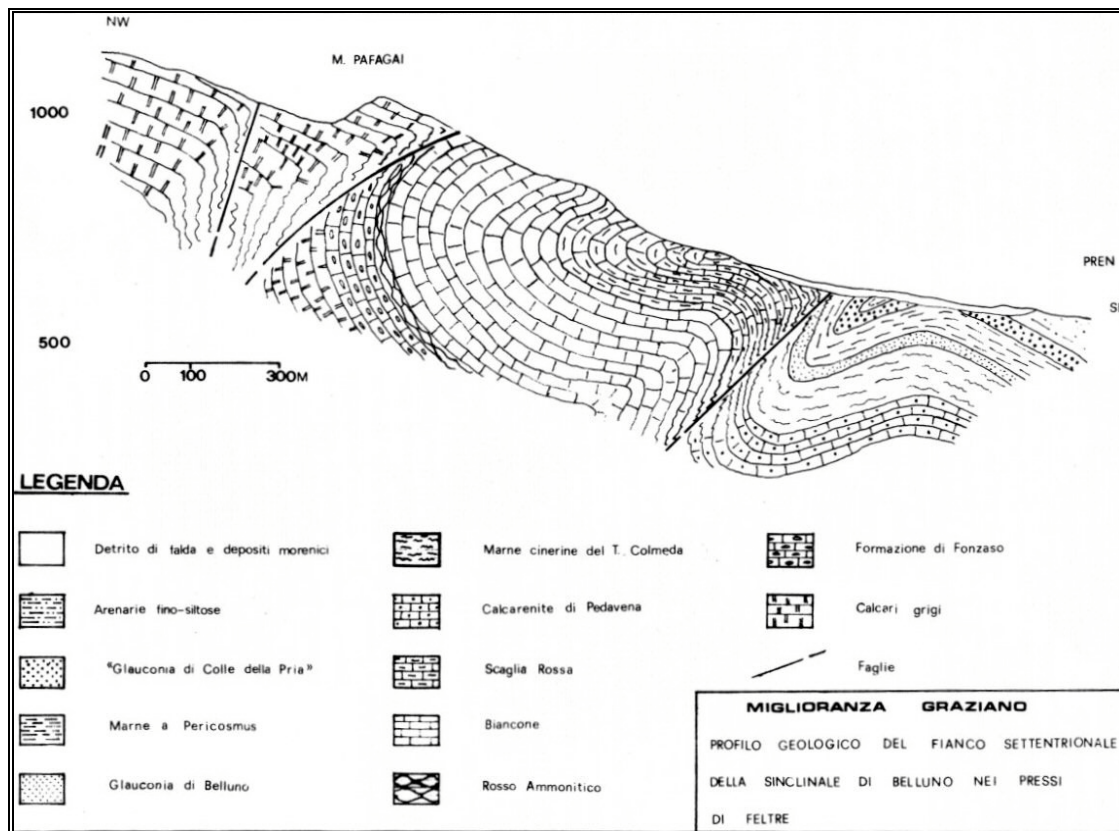


Fig. 6 - Traccia di profilo geologico M. Pafagai-Pren (da rel geol. PAT Feltre)

Vicariante a questa linea di disturbo tettonico è una faglia praticamente parallela che determina un ulteriore accavallamento di scaglie di Calcari Grigi sul Biancone (M. Pafagai e Solforino).

Più a sud il piede della flessura M. Coppolo – M. Pelf è attraversato da un’altra faglia (**faglia di Lamén – Lasén**), sempre ad andamento WSW - ENE con piano debolmente inclinato

evidenziato da un rapido passaggio in un intervallo non affiorante da termini appartenenti alla Scaglia Rossa a Siltiti marnose di età burdigaliana.

La sinclinale di Belluno è attraversata da un altro sistema di faglie a prevalente rigetto orizzontale. Quelle più importanti sono la **faglia** che attraversa il versante occidentale del M. Pafagai **tra Lamén e Stalle alla Fornace** e quella di **Cart – Lasen** evidente sia lungo il Vallone che a nord di Lasen.

La “**Linea di Tezze**” è un sovrascorrimento del fascio Valsuganese che presenta delle caratteristiche evidenti nel tratto tra Tezze Valsugana e Fonzaso, ma poi si confonde tra Arten, Pedavena e Soranzen, dove confluisce nella linea di Belluno. Essa ha un andamento SO-NE. In mancanza di diretti affioramenti si presume che prenda una direzione NNE con assetto verticale alle pendici del monte Avena, aggirando il monte Aurin; ciò è suffragato anche dalla presenza di Scaglia Rossa intensamente fratturata presso S. Lucia, e del contatto tettonico su strati verticali nella direttrice tra Mugnai e la valle di Font. Nella zona di Pedavena, Lamén e Norcen, data la forte copertura, non si riesce a determinare l'andamento e la continuazione della stessa faglia, che viene ipoteticamente ad assumere l'andamento valsuganese.

Il **Graben di Seren**, struttura NNE-SSO che caratterizza la Val di Seren tra l'omonimo paese e Cima Grappa, è ritenuto influenzare l'andamento della “Linea di Tezze” tra Arten e Lamén, ed avere una sua espressione anche nella zona del M. Pafagai-m. San Mauro.

La “**Linea di Schievenin**” è una linea che con andamento SSO-NNE caratterizza la parte orientale del Massiccio del Grappa, ed ha una componente transpressiva con un rigetto verticale non inferiore agli 800 metri.

3. Considerazioni sulla sismicità del territorio

Con la nuova normativa sismica, per definire l'azione sismica di progetto, si deve valutare l'influenza delle condizioni litologiche e morfologiche locali sulle caratteristiche del moto del suolo in superficie, mediante studi specifici di risposta sismica locale. In caso alternativa si può utilizzare la classificazione dei terreni presente nelle “Norme tecniche per le Costruzioni” (dm 14.01.2008), basata sulla stima dei valori della velocità media delle onde sismiche di taglio Vs entro 30 metri di profondità. Un modello di riferimento per la descrizione del moto sismico sul piano di fondazione è costituito dallo spettro di risposta elastico, altro modello consiste nel descrivere il moto del suolo mediante accelerogrammi.

Lo spettro di risposta elastico è costituito da una forma spettrale (spettro normalizzato) riferita allo smorzamento convenzionale del 5% e considerata indipendente dal livello di sismicità, moltiplicata per il valore della accelerazione massima convenzionale del terreno fondale "ag" che caratterizza il sito. Nella espressione dello spettro di risposta elastico, sia nella sua componente orizzontale che verticale, assume importanza non solo il parametro "ag" ma anche "S", quest'ultimo è il fattore che tiene conto della categoria del suolo di fondazione in funzione alla velocità delle onde di taglio Vs nei primi trenta metri di profondità, e della componente di amplificazione topografica del sito.

Con l'Ordinanza PCM n. 3519 del 28.04.2006 e DGRV n.71/2008 si approva la "*Mappa di pericolosità sismica del territorio Nazionale*" espressa in termini di accelerazione massima al suolo (*ag max*) con probabilità di eccedenza del 10% in 50 anni (tempo di ritorno 475 anni) riferita ai suoli molto rigidi ($V_s > 800$ m/sec). Il valore di "ag", per il Comune di Feltre, in zona "2", riferita a suoli molto rigidi ($V_s > 800$ m/s) varia da 0,225g a 0.150g.

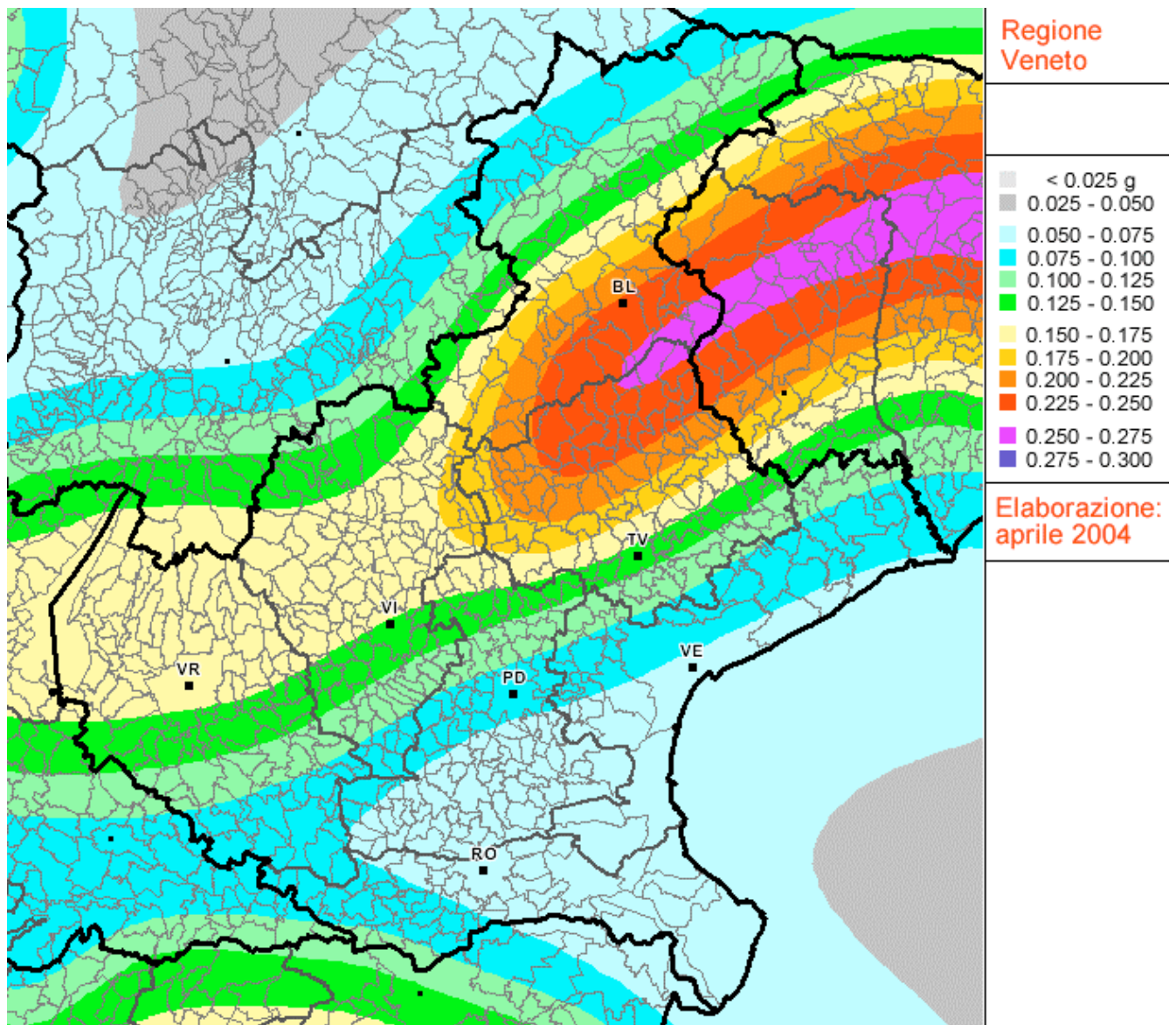


Fig. 7 - Mappa della pericolosità sismica della Regione del Veneto espressa in termini di accelerazione massima al suolo ($a_g \max$) con probabilità di eccedenza del 10% in 50 anni (tempo di ritorno 475 anni) riferita ai suoli molto rigidi ($V_s > 800$ m/sec)

Nel 2004 è stato aggiornato il Catalogo Parametrico dei Terremoti (CPTI04) da parte di INGV; dall'analisi di questo catalogo possiamo rilevare che i terremoti aventi epicentro entro un raggio di circa 30 km dal centro abitato di Feltre e con magnitudo $M_{aw} \geq 5$ (v. fig. 10) sono i seguenti:

- anno 1404 nel Bellunese con $M_{aw}=5.17$;
- anno 1695 nell'Asolano con $M_{aw}=6.61$;
- anno 1836 nel Bassanese con $M_{aw}=5.48$;
- anno 1860 nel Valdobbiadense con $M_{aw}=5.17$;
- anno 1873 nel Bellunese con $M_{aw}=5.03$;
- anno 1887 nell'Asolano con $M_{aw}=5.17$;
- anno 1894 nella zona di Fonzaso con $M_{aw}=5.03$;
- anno 1895 nel Valdobbiadense con $M_{aw}=5.06$;
- anno 1900 nel Valdobbiadense con $M_{aw}=5.22$;
- anno 1943 nel Valdobbiadense con $M_{aw}=5.18$.

Quello con maggiore intensità negli ultimi 2000 anni, con epicentro entro i 30 km circa di raggio è avvenuto il 25.02.1695 nell'asolano (lat. $45^{\circ}48'$, long. $11^{\circ}57'$ poco a Est della Chiesa di Crespignaga di Maser) con intensità epicentrale di 9.5 e magnitudo $M_{aw}=6.61$.

Nella fig. 8 allegata sono indicati tutti i terremoti, presenti nel catalogo CPTI 04, avente epicentro entro un raggio di circa 30 km dal centro abitato di Feltre, con magnitudo da $3.92 \leq M_{aw} \leq 5$. La legenda della figura n. 8 è la seguente:

- **N** numero progressivo dei terremoti presenti nel catalogo CPTI04;
- **Tr** tipi di informazione che è alla base dei parametri;
- **Tempo origine (Anno, Me, Gi, Or, Mi, Se)** data in cui è avvenuto il sisma;
- **AE** denominazione dell'area dei massimi effetti;
- **Rt** codice dell'elaborato di riferimento;
- **Np** numero dei punti di intensità;
- **I_{max}** intensità massima;
- **I_o** intensità epicentrale
- **Lat, Long** coordinate in gradi sessadecimali del luogo dell'epicentro;
- **Magnitudo** sono state indicate tre alternative di magnitudo: M_{aw} con errore D_{aw} e tipologia di stima TW , M_{as} (calcolata sulle onde superficiali) con errore D_{as} e tipologia di stima TS , e infine M_{sp} (da utilizzare nella relazione di attenuazione di Sabetta Pugliese) con errore D_{sp} e tipologia di stima D_{sp} .

- **ZS9** è la zona sorgente cui l'evento è associato, secondo la zonazione sismogenetica ZS9, descritta nell'appendice 2 del rapporto conclusivo.

Interrogazione effettuata sui seguenti parametri:

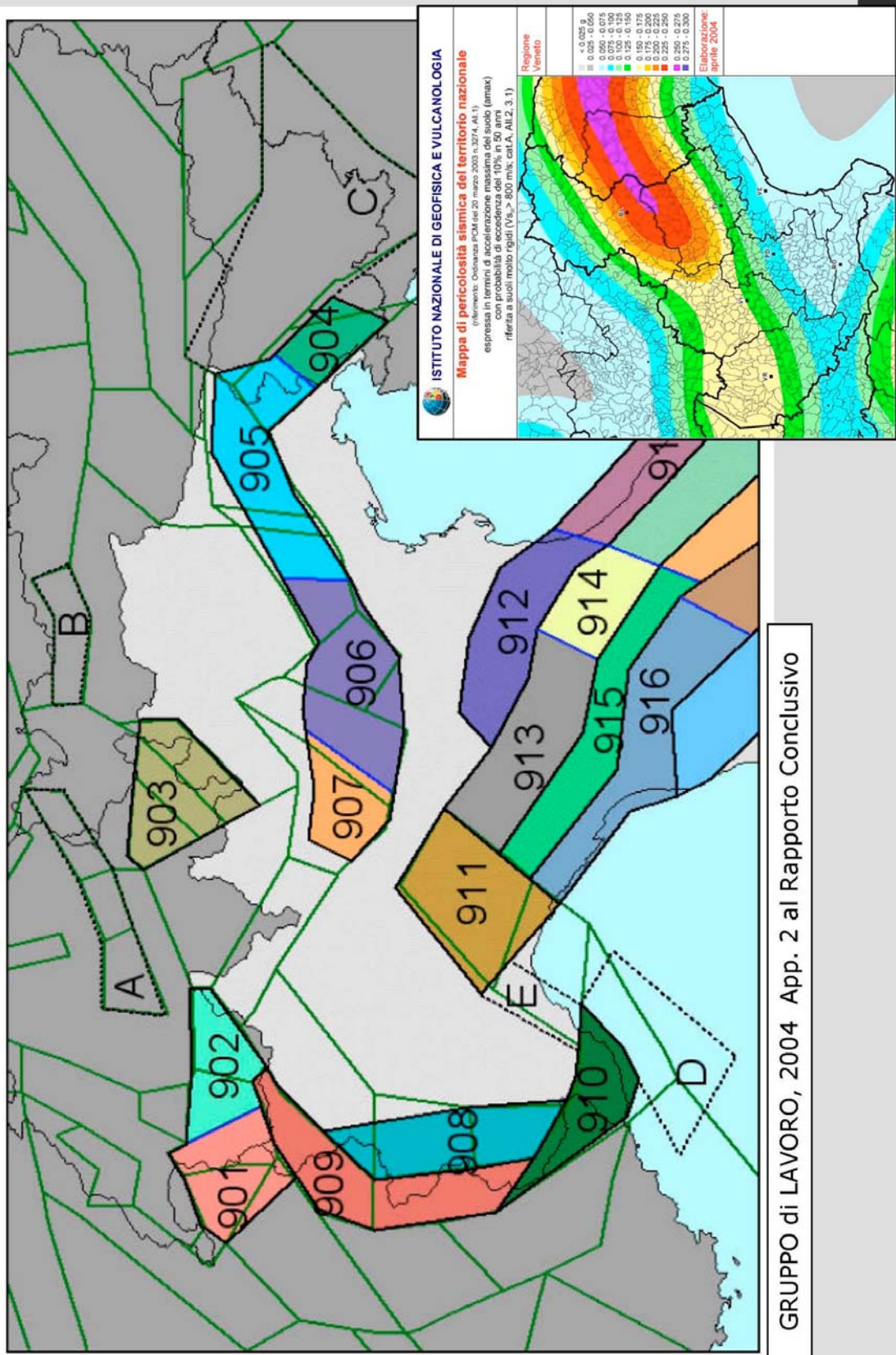
Area circolare con centro C (46.018, 11.91) e raggio 30 km

N	Tr	Anno	Me	Gi	Or	Mi	Se	AE	Rt	Np	Imx	Io	TI	Lat	Lon	TL	Maw	Daw	TW	Mas	Das	TS	Map	Dap	ZS9	TZ
118	CP	1392	1	28		30		BELLUNO	OGSS7			60		46.133	12.217		4.83	0.26		4.30	0.39		4.53	0.36	905	G
124	CP	1401	6	29		9		SEDICO	POSS5			60		46.133	12.2		4.83	0.26		4.30	0.39		4.53	0.36	905	G
127	CP	1404	2	1	21			BELLUNO	POSS5			70		46.167	12.167		5.17	0.30		4.80	0.45		4.99	0.42	905	A
128	CP	1406	5	28	21	30		BELLUNO	OGSS7			55		46.133	12.2		4.63	0.13		4.00	0.20		4.25	0.19	905	G
133	CP	1411	7	1	6			BELLUNO	OGSS7			55		46.133	12.217		4.63	0.13		4.00	0.20		4.25	0.19	905	G
400	CP	1690	5	4				BELLUNO	OGSS7			60		46.133	12.217		4.83	0.26		4.30	0.39		4.53	0.36	905	G
415	DI	1695	2	25	5	30		Asolano	CFTI	82	100	95	M	45.8	11.95	A	6.61	0.11		6.61	0.11		6.61	0.11	905	G
813	DI	1836	6	12	2	30		BASSANO	DCM	26	80	75		45.807	11.823	A	5.48	0.13		5.26	0.19		5.42	0.18	906	G
909	CP	1857	3	10	3			PIEVE DI SOLIGO	POSS5			55		45.9	12.1		4.63	0.13		4.00	0.20		4.25	0.19	905	G
918	DI	1859	1	20	7	55		COLLALTO	DCM	36	70	65		45.893	12.103	A	4.97	0.16		4.50	0.24		4.71	0.22	905	G
922	CP	1859	9	29	8	30		BELLUNO	POSS5			55		46.133	12.217		4.63	0.13		4.00	0.20		4.25	0.19	905	G
924	CP	1860	7	19	15	38		VALDOBBIADENE	POSS5			70		45.9	12.05		5.17	0.30		4.80	0.45		4.99	0.42	905	G
928	CP	1861	5	19	19	45		CASTELFRANCO	POSS5			65		45.75	11.917		5.03	0.33		4.60	0.49		4.80	0.45	905	G
989	CP	1873	11	6	8	30		BELLUNO	POSS5			65		46.133	12.217		5.03	0.33		4.60	0.49		4.80	0.45	905	G
1002	CP	1875	10	24	20	13		BELLUNO	POSS5			60		46.133	12.217		4.83	0.26		4.30	0.39		4.53	0.36	905	G
1115	CP	1885	12	29	22	6		COL VISENTIN	POSS5			60		46.083	12.283		4.83	0.26		4.30	0.39		4.53	0.36	905	G
1130	CP	1887	4	14	1	11	6	ASOLO	POSS5			70		45.8	11.917		5.17	0.30		4.80	0.45		4.99	0.42	905	G
1218	DI	1894	11	28				FONZASO	DCM	11	65	65		46.006	11.821	A	5.03	0.33		4.60	0.49		4.80	0.45	906	G
1231	DI	1895	6	10	1	47		VALDOBBIADENE	DCM	73	65	65		45.943	12.073	A	5.06	0.15		4.64	0.22		4.84	0.20	905	G
1273	CP	1897	6	11	11	40	52	MONTEBELLUNA	POSS5			60		45.817	12.033		4.83	0.26		4.30	0.39		4.53	0.36	905	G
1325	DI	1900	3	4	16	55		VALDOBBIADENE	DCM	99	65	60		45.85	12.067	A	5.22	0.10		4.88	0.15		5.06	0.14	905	G
1685	CP	1919	7	12	12	6		ASOLO	POSS5			55		45.8	11.917		4.98	0.09		4.52	0.13		4.73	0.12	905	G
1723	DI	1921	9	12	25			ASOLO	DCM	3	40	40		45.77	11.768	A	4.83	0.14		4.29	0.21		4.52	0.19	906	G
1733	CP	1922	11	8	10	28	28	FELTRE	POSS5			60		46	12		4.78	0.15		4.23	0.22		4.46	0.20	905	G
1771	CP	1925	7	4	17	48	5	SEDICO	POSS5			55		46.133	12.2		4.73	0.09		4.15	0.13		4.39	0.12	905	G
1925	CP	1937	2	18	5	30		BELLUNO	POSS5			60		46.133	12.217		4.83	0.26		4.30	0.39		4.53	0.36	905	G
1951	CP	1940	1	3	19	15		FONZASO	POSS5			60		46.033	11.8		4.83	0.26		4.30	0.39		4.53	0.36	906	A
1987	DI	1943	7	24	1	44		VALDOBBIADENE	DCM	29	70	65		45.986	11.884	A	5.18	0.09		4.82	0.13		5.01	0.12	906	G
1991	CP	1943	11	15	8	30		FONZASO	POSS5			60		46.017	11.8		4.83	0.26		4.30	0.39		4.53	0.36	906	A

Numero di record estratti: 29

Fig. 8 - Terremoti avente epicentro entro un raggio di circa 30 km dal centro abitato di Feltre, con magnitudo da $3.92 \leq Maw \leq 5$ (dal catalogo CPTI04)

Sorgenti sismogenetiche, dettaglio per il Veneto



GRUPPO di LAVORO, 2004 App. 2 al Rapporto Conclusivo

Fig. 9 - Zonazione sismogenetica ZS9 del Veneto

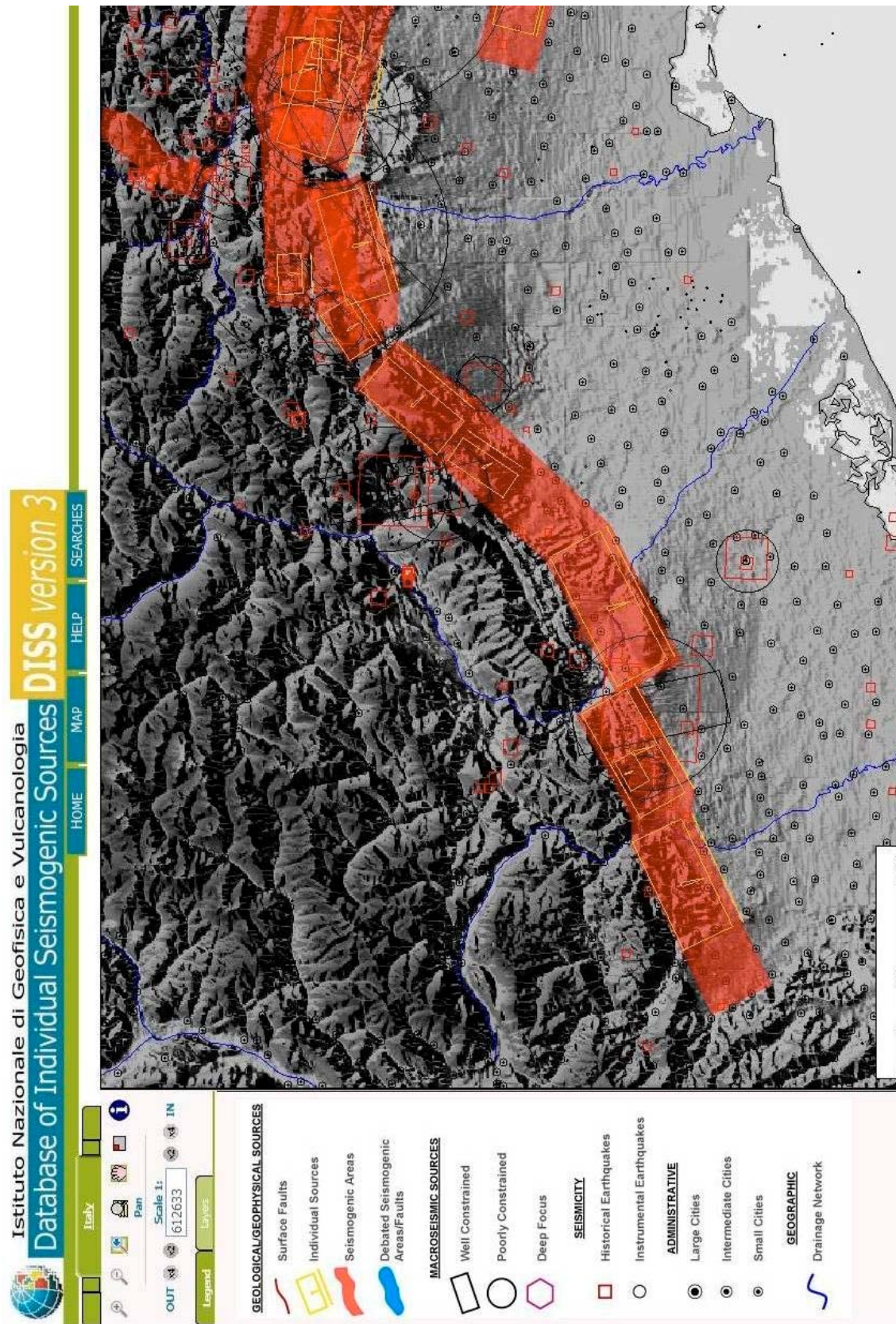


Fig. 10 - Sorgenti sismogenetiche dell'Italia Nord-Orientale inserite nel DISS v.3 (Buratto e altri 2008)

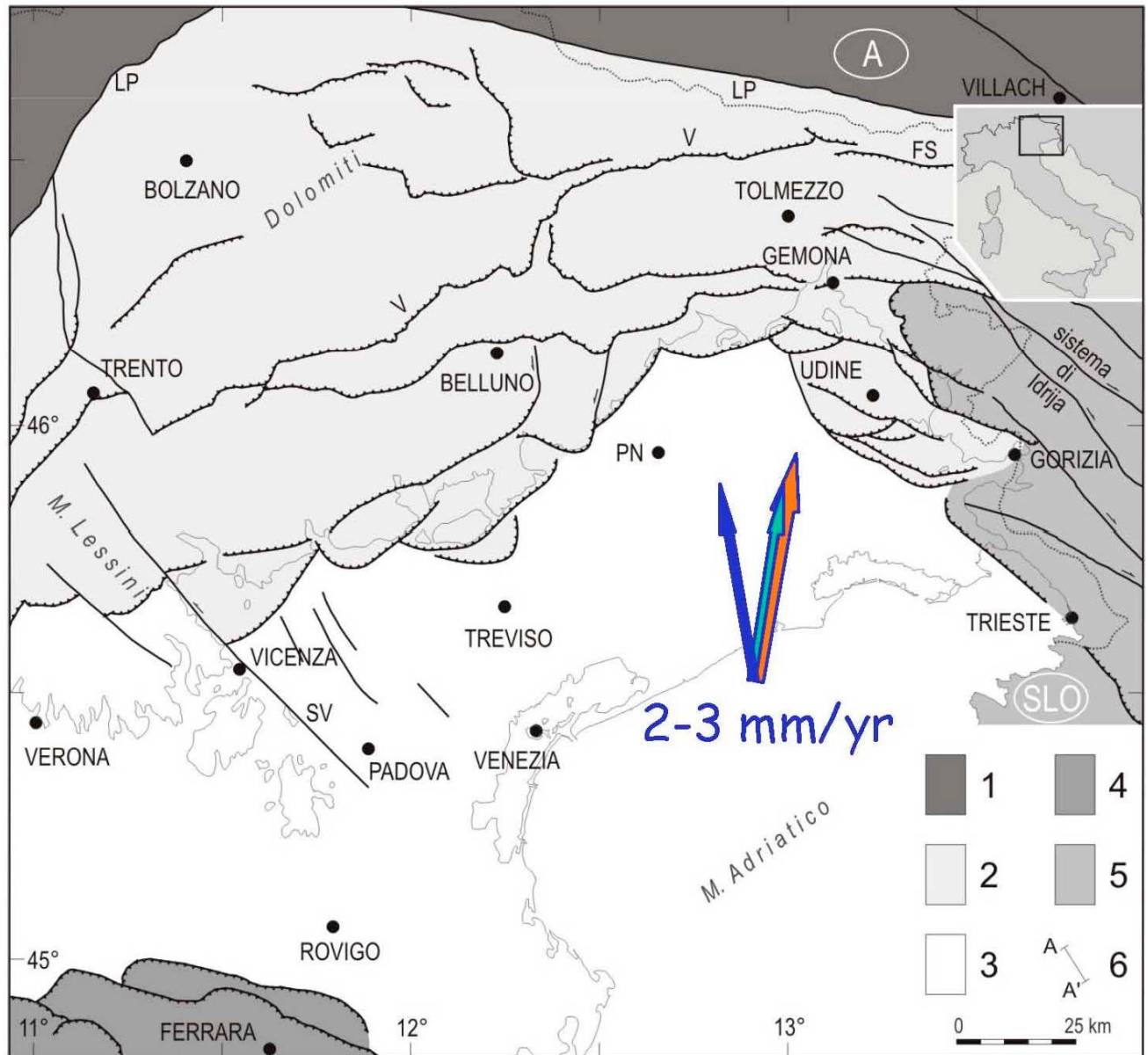


Fig. 11 - Schema strutturale delle Alpi meridionali (da M.E. Poli 2008)

Negli "Indirizzi e criteri per la microzonazione sismica – Rapporto finale" (2008 – Conferenza Stato e Regioni), al cap. 3.1.4 "Fagliazione di superficie" si afferma che per fagliazione di superficie si intende la dislocazione istantanea (cosismica) verticale e/o orizzontale dei terreni di fondazione lungo uno o più piani di taglio. Tale dislocazione deve essere conducibile ad un intervallo temporale relativo agli ultimi 40.000 anni, periodo per il quale una faglia può essere considerata verosimilmente attiva in Italia".

Verso la fine degli anni '90 sono iniziate delle ricerche geologico-strutturali, sul fronte pliocenico (7-1.5 milioni di anni fa) - quaternario (1.5 milioni all'attuale) nell'Italia Nord Orientale e sul suo potenziale sismogenetico; con tale studio sono stati ridefiniti l'architettura del fronte sepolto della pianura friulano-veneta, lo schema dei rapporti fra i sovrassorimenti paleocenici dinarici WSW-vergenti e quelli neoalpini SSE-vergenti e il quadro dell'evoluzione miocenica superiore-quaternaria dell'area. Lo schema strutturale aggiornato del fronte pliocenico-quaternario (v. fig. 11) evidenzia la segmentazione del fronte stesso in un sistema di "thrust" arcuati, in massima parte ciechi e spesso caratterizzati da rampe oblique, mediante le quali un "thrust" si accavalla lateralmente su un altro. Analisi morfotettoniche e neotettoniche applicate a tali strutture hanno permesso in vari casi di datarne l'attività e di definirne la cinematica quaternaria.

In figura n. 10 è rappresentato lo schema dei segmenti ritenuti attivi, accompagnati dalla proiezione in superficie del piano di rottura rettangolare. In particolare per l'area del trevigiano Nord-occidentale e il feltrino, evidenziamo tre sorgenti sismogenetiche:

- ITGG101 (Montello) alla quale non è associato alcun terremoto significativo (zona silente), ed è associata all'area sismogenetica ITSA060 Montebelluna -Montereale;
- ITGG113 (Monte Grappa) a cui è associato il sisma del 12.06.1836 con epicentro nel Bassanese; appartiene all'area sismogenetica ITSA007 Thiene-Cornuda;
- ITGG102 (Bassano-Cornuda) a cui è associato il sisma del 25.02.1695 con epicentro nell'Asolano; appartiene all'area sismogenetica ITSA007 Thiene-Cornuda.

Le zone sismogenetiche sono state definite in base a uniformità dello stile deformativo e della congruenza cinematica con il modello deformativo. In base alla cartografia ZS9 (v. fig. 9). Le aree del trevigiano settentrionale e del feltrino possono essere associate alle zone 905 e 906, caratterizzate da strutture a pieghe sud-vergenti del Sudalpino orientale e faglie inverse associate; la zona 905 include sorgenti sismogenetiche potenzialmente responsabili di terremoti con magnitudo $M > 6$, e racchiude un'area in cui la frequenza di eventi sismici (anche di magnitudo medio-alte) è nettamente superiore a quella delle zone adiacenti. La zona 905 comprende anche la sorgente del Montello (potenzialmente responsabile di terremoti con $M > 6$), che, in base ai dati attualmente disponibili, è definita come "silente" (cioè mancano, nei cataloghi disponibili, terremoti storici con magnitudo prossima a quella massima attesa). La zona 906 interessa l'area che va da Bassano del Grappa fino a Verona. Nella Fig. 12 sono indicate le faglie capaci, nell'area del Feltrino, dal progetto Ithaca (Italy Hazard from Capable Faults) aggiornato al Settembre 2008; sono state inserite le seguenti lineazioni principali: S. Gottardo-Mt. Agaro (faglia di Belluno), Facen, Monte Grappa- Col dell'Orso, Montebelluna, Schievenin, Vas e Nervesa.

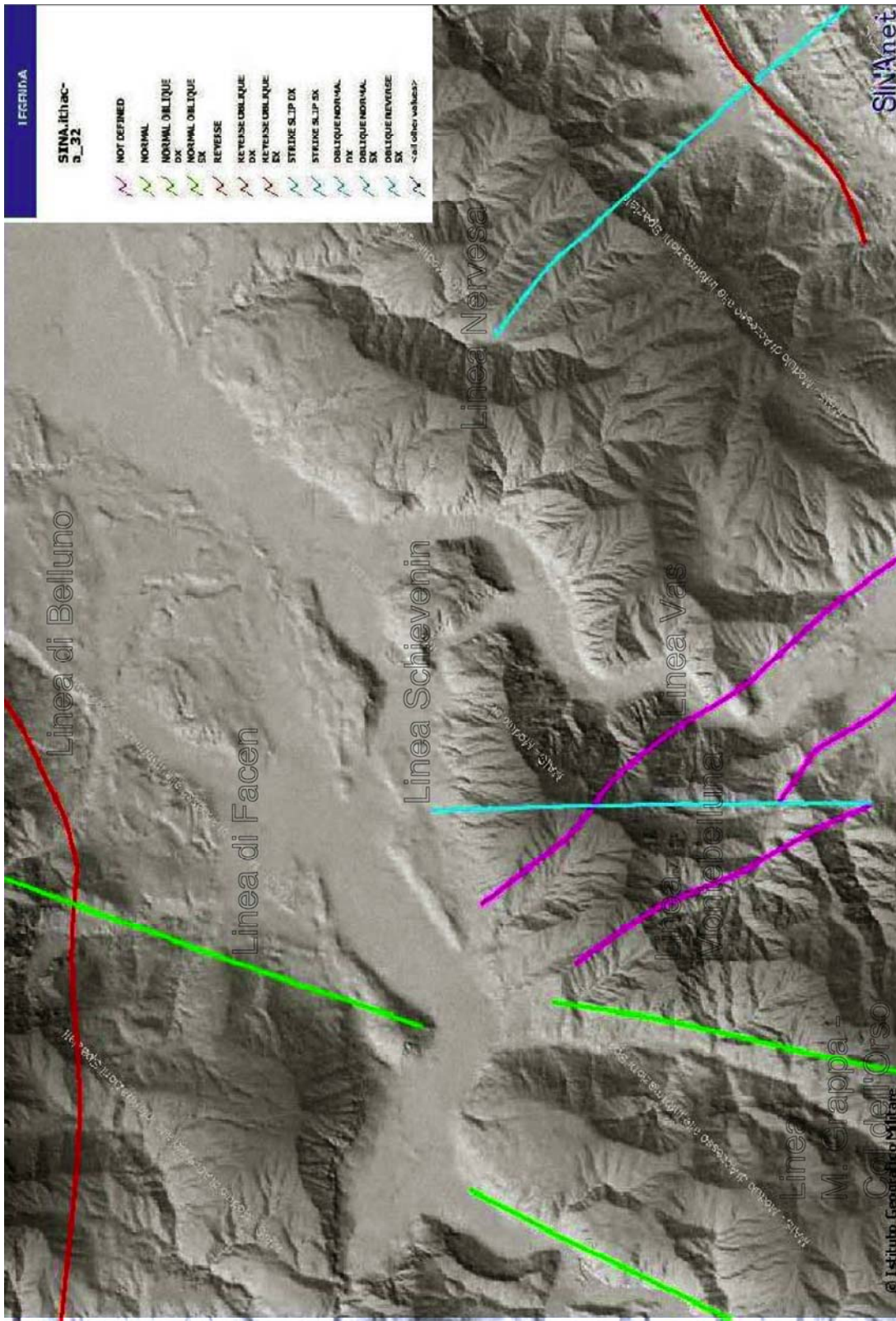


Fig. 12 - Faglie capaci nell'area Feltrina dal progetto Ithaca (Italy Hazard from Capable Faults)

DETAILS: S. Gottardo - Mt. Agaro



FAULT CODE	70102
FAULT NAME	S. Gottardo - Mt. Agaro
MACROZONE	Southern Alps
REGIONE NAME	Veneto
SYSTEM NAME	Belluno Line
RANK	PRIMARY
AVERAGE STRIKE	230
DIP	0
LENGTH (Km)	100
GEOMETRY	
SEGMENTATION	
DEPTH (Km)	0
LOCATION RELIABILITY	

TECTONIC ENVIRONMENT	
KINEMATICS	REVERSE
GEOMORPHIC EXPRESSION	
SURFACE EVIDENCE	
LITHO CUT	
MONITORING/PALEOSEISMOLOGY	
APPLIED TECHNIQUES (MAIN)	
EVIDENCES FOR CAPABILITY	QA

LAST ACTIVITY	Q41
ACTIVITY RELIABILITY	B
RECURRENCE INTERVAL (yr)	0
SLIP-RATE (mm/yr)	0
MAX CREDIBLE RUPTURE LENGHT	0
MAX CREDIBLE SLIP	0
KNOWN SEISMIC EVENTS	
TIME SINCE LAST EVENTS	
MAX CREDIBLE INTENSITY (INQUA scale)	
MAX CREDIBLE MAGNITUDE (Mw)	
STUDY QUALITY	FAIR

SYNOPSIS

GEOLOGIC SETTING

NOTES

REFERENCE

AUTHORS	TITLE	REFERENCES	YEAR
CASTALDINI D. & PANIZZA M. (1991)	Inventario delle faglie attive tra i fiumi Po e Piave ed il lago di Como (Italia settentrionale).	Il Quaternario, 4(2), 333-410.	1991

DETAILS: Facen



FAULT CODE	73900
FAULT NAME	Facen
MACROZONE	Southern Alps
REGIONE NAME	Veneto
SYSTEM NAME	Facen
RANK	
AVERAGE STRIKE	20
DIP	0
LENGTH (Km)	10
GEOMETRY	
SEGMENTATION	
DEPTH (Km)	0
LOCATION RELIABILITY	

TECTONIC ENVIRONMENT	
KINEMATICS	NORMAL
GEOMORPHIC EXPRESSION	
SURFACE EVIDENCE	
LITHO CUT	
MONITORING/PALEOSEISMOLOGY	
APPLIED TECHNIQUES (MAIN)	
EVIDENCES FOR CAPABILITY	

LAST ACTIVITY	
ACTIVITY RELIABILITY	C
RECURRENCE INTERVAL (yr)	0
SLIP-RATE (mm/yr)	0
MAX CREDIBLE RUPTURE LENGHT	0
MAX CREDIBLE SLIP	0
KNOWN SEISMIC EVENTS	
TIME SINCE LAST EVENTS	
MAX CREDIBLE INTENSITY (INQUA scale)	
MAX CREDIBLE MAGNITUDE (Mw)	
STUDY QUALITY	LOW

SYNOPSIS

GEOLOGIC SETTING

NOTES

REFERENCE

AUTHORS	TITLE	REFERENCES	YEAR
CASTALDINI D. & PANIZZA M. (1991)	Inventario delle faglie attive tra i fiumi Po e Piave ed il lago di Como (Italia settentrionale).	Il Quaternario, 4(2), 333-410.	1991

DETAILS: Cima Grappa - Col dell'Orso

[BACK](#)

FAULT CODE	75200
FAULT NAME	Cima Grappa - Col dell'Orso
MACROZONE	Southern Alps
REGIONE NAME	Veneto
SYSTEM NAME	Cima Grappa - Col dell'Orso System
RANK	
AVERAGE STRIKE	20
DIP	0
LENGTH (Km)	9
GEOMETRY	
SEGMENTATION	
DEPTH (Km)	0
LOCATION RELIABILITY	

TECTONIC ENVIRONMENT	
KINEMATICS	NORMAL
GEOMORPHIC EXPRESSION	
SURFACE EVIDENCE	
LITHO CUT	
MONITORING/PALEOSEISMOLOGY	
APPLIED TECHNIQUES (MAIN)	
EVIDENCES FOR CAPABILITY	

LAST ACTIVITY	
ACTIVITY RELIABILITY	C
RECURRENCE INTERVAL (yr)	0
SLIP-RATE (mm/yr)	0
MAX CREDIBLE RUPTURE LENGHT	0
MAX CREDIBLE SLIP	0
KNOWN SEISMIC EVENTS	
TIME SINCE LAST EVENTS	
MAX CREDIBLE INTENSITY (INQUA scale)	
MAX CREDIBLE MAGNITUDE (Mw)	
STUDY QUALITY	LOW

SYNOPSIS	
GEOLOGIC SETTING	
NOTES	

REFERENCE

AUTHORS	TITLE	REFERENCES	YEAR
CASTALDINI D. & PANIZZA M. (1991)	Inventario delle faglie attive tra i fiumi Po e Piave ed il lago di Como (Italia settentrionale).	Il Quaternario, 4(2), 333-410.	1991

DETAILS: Schievenin

[BACK](#)

FAULT CODE	74400
FAULT NAME	Schievenin
MACROZONE	Southern Alps
REGIONE NAME	Veneto
SYSTEM NAME	Schievenin
RANK	
AVERAGE STRIKE	180
DIP	0
LENGTH (Km)	9
GEOMETRY	
SEGMENTATION	
DEPTH (Km)	0
LOCATION RELIABILITY	

TECTONIC ENVIRONMENT	
KINEMATICS	STRIKE SLIP SX
GEOMORPHIC EXPRESSION	
SURFACE EVIDENCE	
LITHO CUT	
MONITORING/PALEOSEISMOLOGY	
APPLIED TECHNIQUES (MAIN)	
EVIDENCES FOR CAPABILITY	

LAST ACTIVITY	Q3
ACTIVITY RELIABILITY	C
RECURRENCE INTERVAL (yr)	0
SLIP-RATE (mm/yr)	0
MAX CREDIBLE RUPTURE LENGHT	0
MAX CREDIBLE SLIP	0
KNOWN SEISMIC EVENTS	
TIME SINCE LAST EVENTS	
MAX CREDIBLE INTENSITY (INQUA scale)	
MAX CREDIBLE MAGNITUDE (Mw)	
STUDY QUALITY	LOW

SYNOPSIS	
GEOLOGIC SETTING	
NOTES	

REFERENCE

AUTHORS	TITLE	REFERENCES	YEAR
CASTALDINI D. & PANIZZA M. (1991)	Inventario delle faglie attive tra i fiumi Po e Piave ed il lago di Como (Italia settentrionale).	Il Quaternario, 4(2), 333-410.	1991

DETAILS: Vas


FAULT CODE	74500
FAULT NAME	Vas
MACROZONE	Southern Alps
REGIONE NAME	Veneto
SYSTEM NAME	Vas
RANK	
AVERAGE STRIKE	150
DIP	0
LENGTH (Km)	13
GEOMETRY	
SEGMENTATION	
DEPTH (Km)	0
LOCATION RELIABILITY	

TECTONIC ENVIRONMENT	
KINEMATICS	
GEOMORPHIC EXPRESSION	
SURFACE EVIDENCE	
LITHO CUT	
MONITORING/PALEOSEISMOLOGY	
APPLIED TECHNIQUES (MAIN)	
EVIDENCES FOR CAPABILITY	

LAST ACTIVITY	
ACTIVITY RELIABILITY	C
RECURRENCE INTERVAL (yr)	0
SLIP-RATE (mm/yr)	0
MAX CREDIBLE RUPTURE LENGHT	0
MAX CREDIBLE SLIP	0
KNOWN SEISMIC EVENTS	
TIME SINCE LAST EVENTS	
MAX CREDIBLE INTENSITY (INQUA scale)	
MAX CREDIBLE MAGNITUDE (Mw)	
STUDY QUALITY	LOW

SYNOPSIS

GEOLOGIC SETTING

NOTES

REFERENCE

AUTHORS	TITLE	REFERENCES	YEAR
CASTALDINI D. & PANIZZA M. (1991)	Inventario delle faglie attive tra i fiumi Po e Piave ed il lago di Como (Italia settentrionale).	Il Quaternario, 4(2), 333-410.	1991

DETAILS: Montebelluna


FAULT CODE	74200
FAULT NAME	Montebelluna
MACROZONE	Southern Alps
REGIONE NAME	Veneto
SYSTEM NAME	Montebelluna
RANK	
AVERAGE STRIKE	140
DIP	0
LENGTH (Km)	60
GEOMETRY	
SEGMENTATION	
DEPTH (Km)	0
LOCATION RELIABILITY	

TECTONIC ENVIRONMENT	
KINEMATICS	
GEOMORPHIC EXPRESSION	
SURFACE EVIDENCE	
LITHO CUT	
MONITORING/PALEOSEISMOLOGY	
APPLIED TECHNIQUES (MAIN)	
EVIDENCES FOR CAPABILITY	QA

LAST ACTIVITY	Q4
ACTIVITY RELIABILITY	C
RECURRENCE INTERVAL (yr)	0
SLIP-RATE (mm/yr)	0
MAX CREDIBLE RUPTURE LENGHT	0
MAX CREDIBLE SLIP	0
KNOWN SEISMIC EVENTS	
TIME SINCE LAST EVENTS	
MAX CREDIBLE INTENSITY (INQUA scale)	
MAX CREDIBLE MAGNITUDE (Mw)	
STUDY QUALITY	LOW

SYNOPSIS

GEOLOGIC SETTING

NOTES

REFERENCE

AUTHORS	TITLE	REFERENCES	YEAR
CASTALDINI D. & PANIZZA M. (1991)	Inventario delle faglie attive tra i fiumi Po e Piave ed il lago di Como (Italia settentrionale).	Il Quaternario, 4(2), 333-410.	1991

DETAILS: Nervesa



FAULT CODE	72500	TECTONIC ENVIRONMENT		LAST ACTIVITY	
FAULT NAME	Nervesa	KINEMATICS	STRIKE SLIP SX	ACTIVITY RELIABILITY	C
MACROZONE	Southern Alps	GEOMORPHIC EXPRESSION		RECURRENCE INTERVAL (yr)	0
REGIONE NAME	Veneto	SURFACE EVIDENCE		SLIP-RATE (mm/yr)	0
SYSTEM NAME	Nervesa	LITHO CUT		MAX CREDIBLE RUPTURE LENGHT	0
RANK	SUBORDINATE	MONITORING/PALEOSEISMOLOGY		MAX CREDIBLE SLIP	0
AVERAGE STRIKE	140	APPLIED TECHNIQUES (MAIN)		KNOWN SEISMIC EVENTS	
DIP	0	EVIDENCES FOR CAPABILITY	QB	TIME SINCE LAST EVENTS	
LENGTH (Km)	30			MAX CREDIBLE INTENSITY (INQUA scale)	
GEOMETRY				MAX CREDIBLE MAGNITUDE (Mw)	
SEGMENTATION				STUDY QUALITY	LOW
DEPTH (Km)	0				
LOCATION RELIABILITY					

SYNOPSIS

GEOLOGIC SETTING

NOTES

REFERENCE

AUTHORS	TITLE	REFERENCES	YEAR
CASTALDINI D. & PANIZZA M. (1991)	Inventario delle faglie attive tra i fiumi Po e Piave ed il lago di Como (Italia settentrionale).	Il Quaternario, 4(2), 333-410.	1991

Una prima analisi sulla presenza di “faglie attive” nel territorio Feltrino, può essere effettuato da dati bibliografici, attraverso i tabulati sopra allegati, presenti nel progetto Ithaca (Italy Hazard from Capable Faults):

NOME DELLA FAGLIA	ULTIMA ATTIVITA'	POSSIBILITA' CHE LA FAGLIA SI RIATTIVI IN FUTURO
San Gottardo –Mt. Agaro	Q41 – Ultima glaciazione (9-15.000 anni fa)	B
Facen	/	C
Cima Grappa – Col dell'Orso	/	C
Schievenin	Q3 -Tardo Pleistocene	C
Vas	/	C
Montebelluna	Q4 - Olocene	C
Nervesa	/	C

Si sottolinea che l'individuazione delle faglie attive e capaci è di fondamentale importanza. Per faglia attiva si intende una faglia che si è rotta almeno una volta negli ultimi 40.000 anni (limite inferiore certo dalle datazioni radiometriche). Una

faglia attiva è detta capace se raggiunge la superficie producendo una frattura del terreno; l'andamento di questa rottura in superficie è la superficie della faglia (v. cap. 3.1.4 *“Indirizzi e criteri di microzonazione sismica –2008 Conferenza Stato Regioni”*).

4. Elementi geologici e zone omogenee in prospettiva sismica

Per la redazione della carta degli *“Elementi geologici in chiave sismologica”* si è proceduto a un rilievo di dettaglio di campagna e inoltre si è fatto riferimento alla Carta Litologica, Geomorfologica e Idrogeologica allegata al PAT.

Sono stati individuati i seguenti elementi geologici:

- *“Rocce compatte prevalenti alternate a strati o interposizioni tenere”* sono costituite dal “Flisch di Belluno” di età Eocenica. Si tratta di una successione di banchi calcarenitici ed arenacei e subordinatamente ruditici e siltosi, grigi se freschi, giallastri quando alterati alternati a siltiti marnose e marne grigie, generalmente di spessore prevalente rispetto ai livelli grossolani (Grandesso, Stefani, 1991). Nei dintorni di Feltre presenta nella parte inferiore banchi di spessore variabile da 40 a 60 cm. Man mano che si sale nella formazione lo spessore della frazione arenacea diminuisce fino a qualche centimetro e diventa subordinata alla frazione poltica. Sono presenti nella zona di Feltre strutture trattive e di erosione più rare che nell’area di Belluno. Il Flysch di Belluno è presente solo nella parte est dell’area, mentre più a ovest si passa lateralmente al calcare bioclastico di Pedavena. Questa eteropia può essere messa in relazione con la situazione paleogeografia dell’area che durante l’Eocene inferiore e medio era posta al limite del Bacino Bellunese con l’area più elevata della Ruga trentina. La potenza del Flysch è variabile e può raggiungere i 1200 metri a sud del Colle della Pria (Grandesso 1976).
- *“Rocce tenere a prevalente coesione”* sono costituite dalla “Scaglia Rossa” di età Eocene inferiore – Cretaceo superiore. E’ costituita alla base da strati decimetrici di micriti rosa intercalati a livelli centimetrici di marne. Sono presenti noduli di selce rossa o gialla; verso l’alto si hanno strati di circa 1 metro di spessore più marnosi di colore rosso intenso. Il limite inferiore è stato posto in corrispondenza del calo di contenuto in selce, della variazione di colore e della caratteristica frattura scagliosa; il limite superiore alla comparsa di marne grigie alternate a livelli argillitici con le tipiche strutture torbiditiche. Il contenuto in macrofossili è rappresentato da rari Echinidi, mentre abbondante è il

contenuto di microffae a foraminiferi platonici. L'età della Scaglia rossa è compresa tra il Turoniano e l'Eocene inferiore. Il limite Cretaceo – Paleogene è segnato da un hard – round al quale corrisponde una lacuna stratigrafica a carattere regionale.

- *“Materiali della copertura detritica eluviale e/o colluviale poco addensati e costituiti da elementi granulari sabbioso-ghiaiosi, in limitata matrice limoso-sabbiosa”*. Sono alluvioni di corsi d'acqua, attuali e non, costituite prevalentemente da ghiaie e sabbie, spesso stratificate, con rari livelli limosi e con blocchi, poco arrotondati; la matrice è normalmente limoso sabbiosa. La natura litologica dei componenti è estremamente variabile con maggioranza di calcari e dolomie, subordinatamente sono presenti termini arenaceo – marnosi.
- *“Materiali della copertura detritica colluviale poco consolidati e costituiti da frazione limo-argillosa prevalente con subordinate inclusioni sabbioso-ghiaiose e/o di blocchi lapidei”*. Terreni depositatisi nelle aree più depresse dopo il ritiro dei ghiacciai wurmiani, in seguito alle alluvioni postglaciali ad opera dei corsi d'acqua. I materiali che li compongono, molto eterogenei, sono rappresentati da sabbie limose, talvolta argillose, con rari livelli ciottolosi e blocchi, poco arrotondati
- *“Orlo di scarpata d'erosione o di terrazzo: con altezza tra 5 e 10 metri, o con altezza superiore ai 10 metri.*

Il Piano degli Interventi di Pont individua solo due “lotti puntuali” ovvero due ambiti con credito all'interno della zona di progettazione puntuale, la quale è posta nel litotipo “Rocce compatte prevalenti alternate a strati o interposizioni tenere”; il lato occidentale del centro abitato è nell'orlo della scarpata di erosione fluviale o di terrazzo con altezza superiore ai dieci metri.

La carta delle “*Zone omogenee in prospettiva sismica*” mette in evidenza quanto segue:

- un'area “stabile suscettibile di amplificazioni sismiche” nelle quali sono attese amplificazioni sismiche per “effetto topografico”;
- un'area “*suscettibile ad instabilità*” per potenziali smottamenti e/o frane sismoindotte lungo l'orlo della scarpata di altezza superiore ai dieci metri.

5. Direttive per le “zone omogenee in prospettiva sismica”

Il Piano degli Interventi di Pont individua solo due “lotti puntuali” ovvero due ambiti con credito all'interno della zona di progettazione puntuale. Si tratta di trasformazioni territoriali molto modeste, per cui si è ritenuto di demandare ai singoli interventi un approfondimento “sismico”, come specificato nei paragrafi successivi.

La DGRV n. 3308 del 04.11.08 prevede che, per la redazione dei P.I., “il numero e la tipologia delle indagini da effettuarsi...devono essere commisurate alle caratteristiche geologiche, all'importanza dell'opera, e alle dimensioni dell'area in esame”; si è ritenuto perciò di demandare l'esecuzione di specifiche indagini conoscitive (es. misura Vs30, determinazione bedrock sismico, frane sismoindotte) all'atto degli specifici interventi edilizi puntuali.

Non si escludono nuove previsioni insediative, ma gli interventi devono essere giustificati mediante analisi di dettaglio sul rischio sismico.

L'ambito di progettazione puntuale del P.I. di Pont, è stato suddiviso in due aree (v. Carta “Zone omogenee in prospettiva sismica”):

1. un'area “stabile suscettibile di amplificazioni sismiche” nelle quali sono attese amplificazioni sismiche per “effetto topografico”;
2. un'area “*suscettibile ad instabilità*” per potenziali smottamenti e/o frane sismoindotte lungo l'orlo della scarpata di altezza superiore ai dieci metri.

Nell'area di cui al punto “1.” (“stabile suscettibile ad amplificazioni sismiche”), in cui si ritiene di eseguire ristrutturazioni con modifiche strutturali, ampliamenti e nuove costruzioni, si dovrà procedere a :

- **caratterizzare il terreno tramite la misura delle Vs30**, come previsto dal DM 14.01.2008 “Norme tecniche per le costruzioni” : “la classificazione può essere basata sulla stima dei valori della velocità media delle onde sismiche di taglio “Vs” ovvero sul numero medio di colpi N_{spt} ottenuti in una prova penetrometrica dinamica ovvero sulla coesione non drenata media “cu””, per terreni granulari. Le misure dovranno essere eseguite almeno ogni metro lineare di profondità fino a quella prevista dal DM 14.01.2008.

Le misure dirette delle onde di taglio “Vs” acquisite con metodi geofisici di superficie e riconosciuti dalla comunità scientifica (es. MASW, ReMi, ecc.), sono sempre preferibili ai metodi indiretti spraesposti.

- uno studio finalizzato alla determinazione della **profondità del bedrock sismico** in funzione della definizione del periodo proprio di vibrazione del sottosuolo;
- valutare le **amplificazioni locali** di carattere litostragrafico qualora il bedrock sia a profondità superiore ai 3 mt (v. dm 14.01.2008), e topografico, dovuto all'orlo di scarpata e/o terrazzo superiore ai 10 metri, posto in prossimità dell'abitato. L'amplificazione topografica potrà essere determinata come previsto dall'Eurocodice 8 e/o da altra documentazione riconosciuta dalla comunità scientifica (es. "Indirizzi e criteri di microzonazione sismica – rapporto finale del Febbraio 2008 – conferenza Stato e Regioni).

Si potranno utilizzare valori provenienti da misure dirette puntuali delle onde di taglio "Vs" eseguite in un sito adiacente a quello investigato, purchè i litotipi, la morfologia superficiale e sepolta, l'idrogeologia, e le caratteristiche sismiche siano compatibili a quelle riscontrate nell'area in studio.

La relazione tecnica illustrativa e le modalità di presentazione dei dati dovranno essere in linea con gli "Indirizzi e criteri di microzonazione sismica. Rapporto finale. –2008 (Conferenza Stato Regioni)"; in ogni caso dovranno essere allegate le tabelle e i diagrammi delle prove in sito.

Nell'area di cui al punto "2." ("suscettibile ad instabilità"), in cui si ritiene di eseguire ristrutturazioni con modifiche strutturali, ampliamenti e nuove costruzioni, si dovrà procedere a :

- **caratterizzare del terreno tramite la misura delle Vs30**, come previsto dal DM 14.01.2008 "Norme tecniche per le costruzioni" : "la classificazione può essere basata sulla stima dei valori della velocità media delle onde sismiche di taglio "Vs" ovvero sul numero medio di colpi N_{spt} ottenuti in una prova penetrometrica dinamica ovvero sulla coesione non drenata media "cu"", per terreni granulari. Le misure dovranno essere eseguite almeno ogni metro lineare di profondità fino a quella prevista dal DM 14.01.2008.

Le misure dirette delle onde di taglio "Vs" acquisite con metodi geofisici di superficie e riconosciuti dalla comunità scientifica (es. MASW, ReMi, ecc.), sono sempre preferibili ai metodi indiretti spraesposti.

- uno studio finalizzato alla determinazione della **profondità del bedrock sismico** in funzione della definizione del periodo proprio di vibrazione del sottosuolo;

- valutare le **amplificazioni locali** di carattere litostragrafico qualora il bedrock sia a profondità superiore ai 3 mt (v. dm 14.01.2008), e topografico, dovuto all'orlo di scarpata e/o terrazzo superiore ai 10 metri, posto in prossimità dell'abitato. L'amplificazione topografica potrà essere determinata come previsto dall'Eurocodice 8 e/o da altra documentazione riconosciuta dalla comunità scientifica (es. "Indirizzi e criteri di microzonazione sismica – rapporto finale del Febbraio 2008 – conferenza Stato e Regioni).
- eseguire il calcolo **stabilità del pendio a seguito dell'azione sismica**, attraverso una specifica analisi dinamica. In alternativa potranno essere utilizzati appositi abachi, purchè il sito d'intervento presenti caratteristiche conformi alle ipotesi di base utilizzate per l'elaborazione degli abachi stessi.

Si potranno utilizzare valori provenienti da misure dirette puntuali delle onde di taglio "Vs" eseguite in un sito adiacente a quello investigato, purchè i litotipi, la morfologia superficiale e sepolta, l'idrogeologia, e le caratteristiche sismiche siano compatibili a quelle riscontrate nell'area in studio.

La relazione tecnica illustrativa e le modalità di presentazione dei dati dovranno essere in linea con gli "Indirizzi e criteri di microzonazione sismica. Rapporto finale. –2008 (Conferenza Stato Regioni)"; in ogni caso dovranno essere allegate le tabelle e i diagrammi delle prove in sito.

Treviso, Maggio 2009

Il geologo

ALLEGATI

- **TAV. 1 : INQUADRAMENTO DELL'AREA**
- **TAV 2 : ELEMENTI GEOLOGICI IN CHIAVE SISMOLOGICA**
- **TAV. 3 : CARTA DELLE "ZONE OMOGENEE IN PROSPETTIVA SISMICA"**

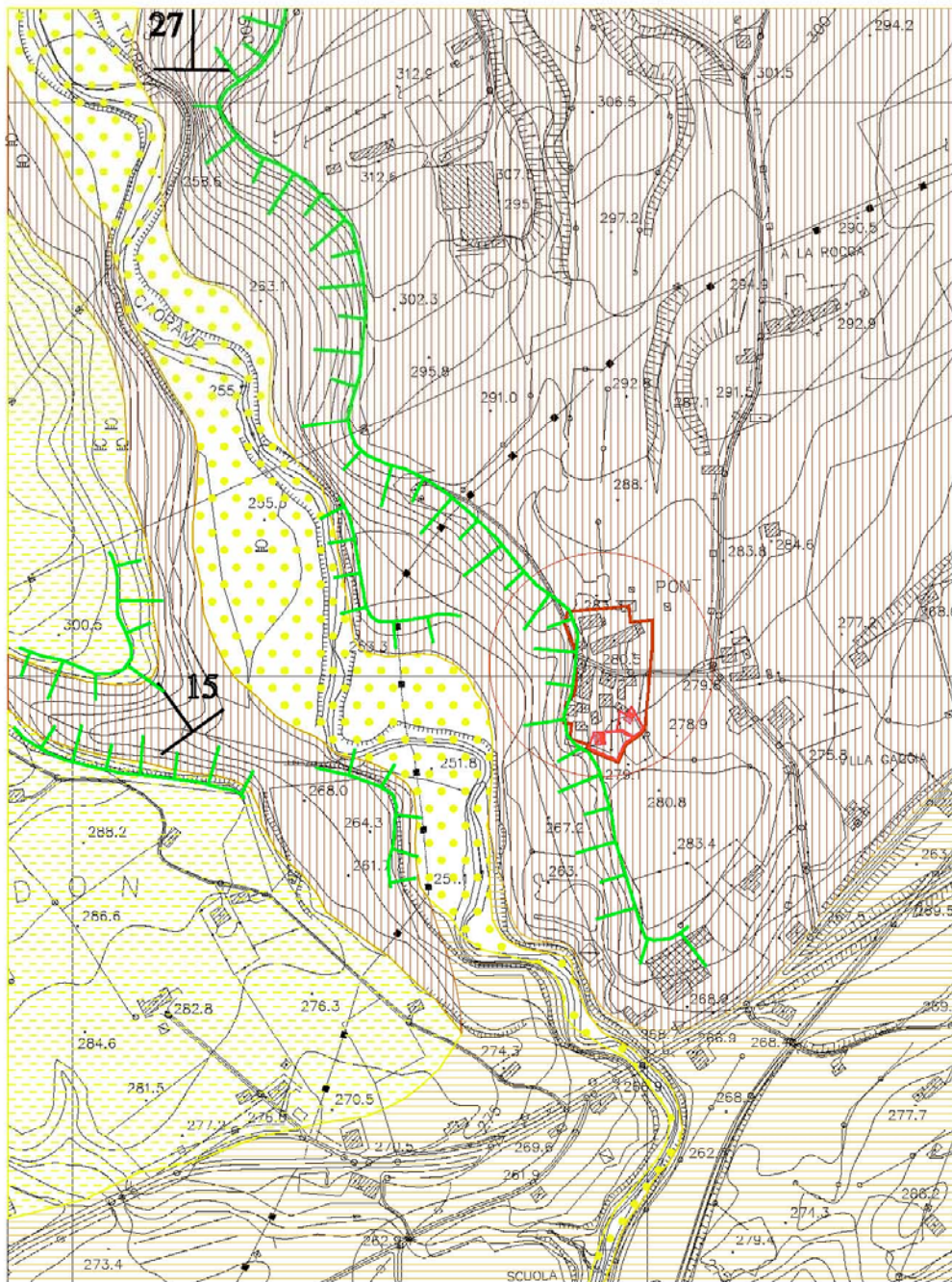


Tavola n.2: Elementi geologici in chiave sismologica scala 1:5.000

-  - Rocce compatte prevalenti alternate a strati o interposizioni tenere
-  - Rocce tenere a prevalente coesione
-  - Materiali della copertura detritica eluviale e/o colluviale poco addensati e costituiti da elementi granulari sabbioso-ghiaiosi in limitata matrice limoso-sabbiosa
-  - Materiali della copertura detritica colluviale poco consolidati e costituiti da frazione limo-argillosa prevalente con subordinate inclusioni sabbioso-ghiaiose e/o di blocchi lapidei
-  - Orlo di scarpata di erosione fluviale o di terrazzo: altezza fra 5 e 10 metri
-  - Orlo di scarpata di erosione fluviale o di terrazzo: altezza superiore a 10 metri

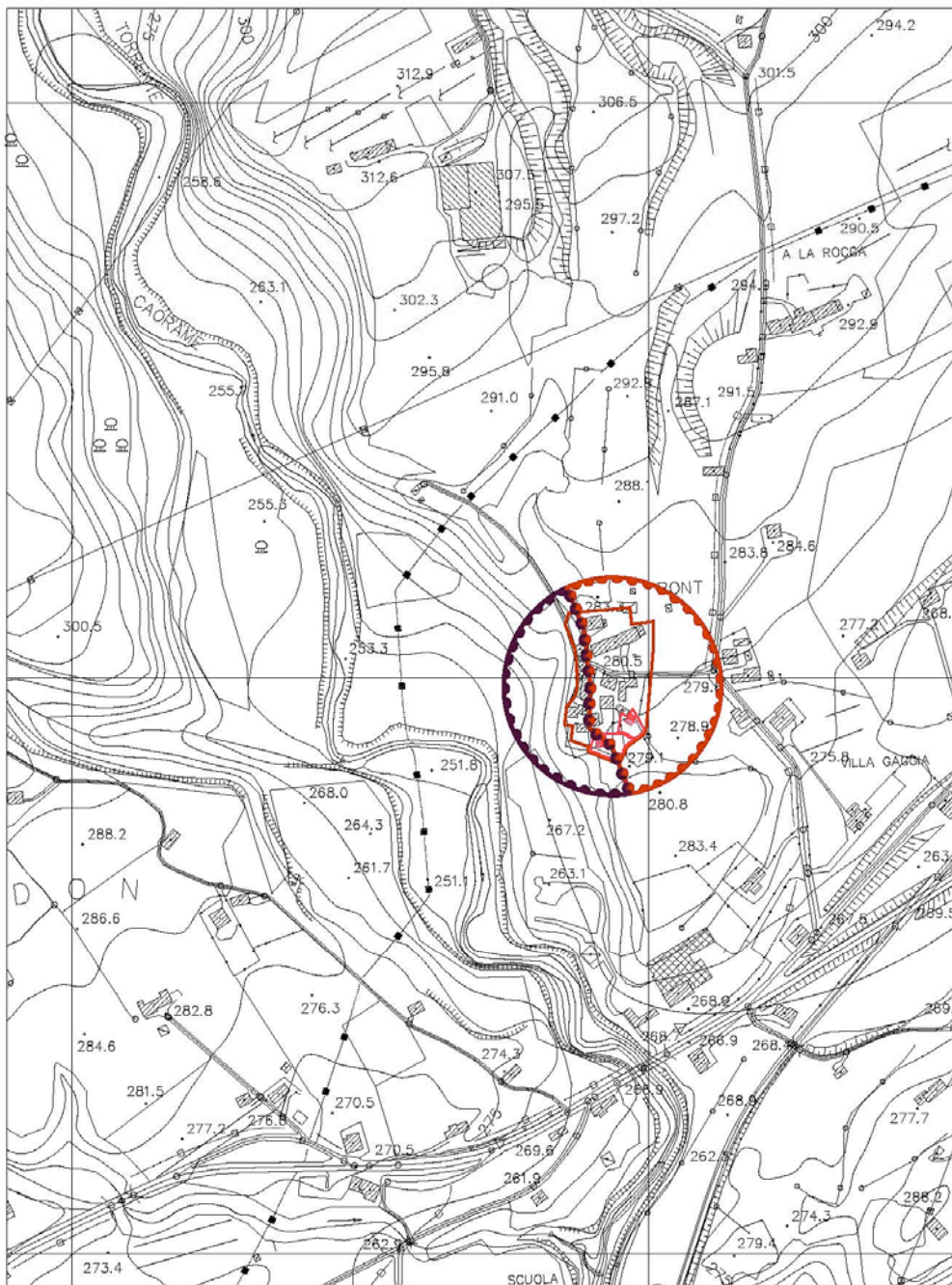


Tavola n.3: Carta delle "zone omogenee in prospettiva sismica"

scala 1:5.000

-  - aree "stabili suscettibili di amplificazione sismiche"
-  - aree "suscettibili di instabilità"